

## Нелинейный осциллятор: конкретные примеры

В этой лекции мы обратимся к обсуждению некоторых конкретных физических систем, которые представляют самостоятельный интерес, и образом которых служит нелинейный осциллятор. Разумеется, это всего лишь ограниченный набор примеров, их количество можно умножить.

### Маятник

Рассмотрим классический математический маятник. Пусть груз массы  $m$ , прикреплен к концу невесомого стержня длины  $l$ , а противоположный конец стержня располагается на оси, вокруг которой стержень может свободно вращаться в вертикальной плоскости (рис. 6.1а). Система находится в поле тяжести, ускорение свободного падения  $g$ . Если отклонить маятник от вертикали на угол  $\varphi$ , то момент, создаваемый силой тяжести («сила, помноженная на плечо»), будет равен  $mgl \sin \varphi$ . Момент инерции груза массы  $m$ , расположенного на расстоянии  $l$  от оси, равен  $ml^2$ . Следовательно, основное уравнение динамики, представляющее собой обобщение второго закона Ньютона на вращательное движение, имеет вид  $ml^2\ddot{\varphi} = -mgl \sin \varphi$  или, после сокращения на  $ml^2$ ,

$$\ddot{\varphi} = -\frac{g}{l} \sin \varphi. \quad (6.1)$$

Итак, мы приходим к уравнению нелинейного осциллятора со специальным видом нелинейной функции – синусом. Если изменить масштаб времени посредством замены  $t_{\text{новое}} = t\sqrt{g/l}$ , то уравнение приводится к удобному для математического исследования виду

$$\ddot{x} + \sin x = 0, \quad (6.2)$$

где мы изменили обозначение динамической переменной на букву  $x$ , чтобы подчеркнуть соответствие с уравнением нелинейного осциллятора (5.1).

Некоторые из сделанных выше предположений на самом деле несущественны с точки зрения окончательного вида уравнения осциллятора. Пусть мы имеем тело произвольной формы с массой  $m$ , которое помещено в поле тяжести и может вращаться вокруг горизонтальной оси, не проходящей через центр масс (рис.6.1б). Пусть  $J$  —

момент инерции тела относительно оси, а  $l$  — расстояние от оси до центра масс. Тогда для угла поворота тела вокруг оси  $\varphi$  справедливо уравнение

$$\ddot{\varphi} = -mglJ^{-1} \sin \varphi, \quad (6.3)$$

т.е. мы вновь имеем осциллятор с нелинейностью синуса. Такую систему называют *физическим маятником*.

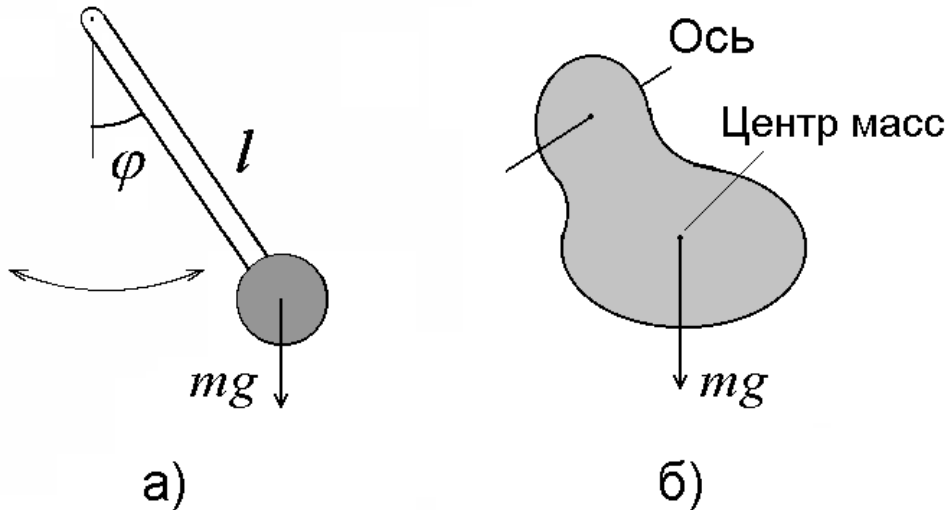


Рис.6.1. Математический (а) и физический (б) маятник.

Замечательно, что данное уравнение описывает не только колебания маятника, но оказывается применимым для целого ряда других задач. Их обсуждению и изложению аналитического подхода к исследованию этого уравнения будет посвящена отдельная лекция.

**Задача 6.1.** Квадратная рамка, по которой течет ток  $I$ , может вращаться без трения вокруг оси  $OO'$  (рис. 6.2). Рамка помещена в однородное магнитное поле с индукцией  $B$ , перпендикулярное оси рамки. Покажите, что колебания рамки описываются уравнением математического маятника. Масса рамки  $m$ .

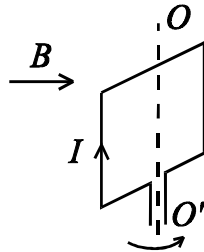


Рис. 6.2

Предположим, что маятник помещен в среду, со стороны которой на него действует сила вязкого трения, пропорциональная мгновенной скорости и тормозящая движе-

ние груза,  $f_{\text{тр}} = -kv = -kl\dot{\varphi}$ . Добавляя момент силы трения  $lf_{\text{тр}} = -kl^2\dot{\varphi}$  в уравнение движения (6.1), получаем  $ml^2\ddot{\varphi} = -mgl \sin \varphi - kl^2\dot{\varphi}$ , или

$$\ddot{\varphi} = -\frac{g}{l} \sin \varphi - \frac{k}{m} \dot{\varphi}. \quad (6.4)$$

Выполняя, как и раньше, перенормировку времени и вводя обозначение  $x$  для динамической переменной, получаем уравнение в форме

$$\ddot{x} + \gamma\dot{x} + \sin x = 0, \quad (6.5)$$

где  $\gamma = \frac{k}{m} \sqrt{\frac{l}{g}}$  — безразмерный параметр диссипации.

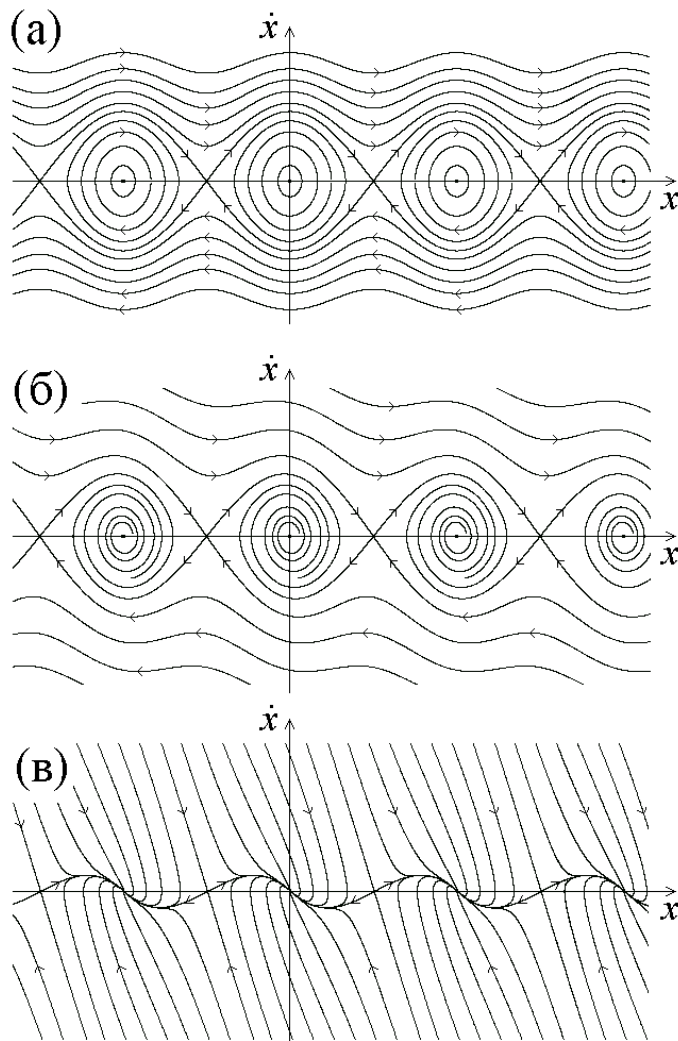


Рис.6.3. Фазовый портрет осциллятора с нелинейностью синуса (6.2): (а) в отсутствие диссипации ( $\gamma=0$ ), (б) при небольшой диссипации ( $\gamma=0.113$ ), (в) при большой диссипации ( $\gamma=2.1$ ).

На рис. 6.3 показаны три фазовых портрета осциллятора с нелинейностью синуса — в отсутствие диссипации, когда устойчивые особые точки представляют собой центры, при небольшой диссипации, когда они оказываются фокусами, и при большой, когда

они становятся узлами. Неустойчивые особые точки во всех случаях являются седлами. Обратите внимание на периодичность фазовых портретов по горизонтальной оси, что связано, очевидно, с периодичностью присутствующей в уравнении функции синуса.

### Частица в лунке

В предыдущих лекциях мы несколько раз ссылались на простейший пример колебательной системы типа шарик в лунке. Если вести речь идет не просто о качественных иллюстрациях, а о количественной формулировке механической задачи, то в ее постановке требуется определенная аккуратность.

Во-первых, если бы мы говорили о шарике, *катающемся* в лунке, то его кинетическая энергия должна была бы складываться из энергии поступательного и вращательного движений (нужно принимать во внимание момент инерции). Во-вторых, при движении по искривленной поверхности, вообще говоря, могло бы случиться так, что шарик оторвался от нее, и на некоторое время оказался в состоянии свободного падения. Чтобы избежать обоих упомянутых осложнений, будем рассматривать движение *бусинки, надетой на проволоку*, изогнутую в соответствии с заданной формой профиля  $y = f(x)$  (рис.6.4). Считаем, что на бусинку действует сила тяжести  $mg$ . Трение бусинки о проволоку и о воздух предполагается отсутствующим, так что колебательная система будет консервативной.

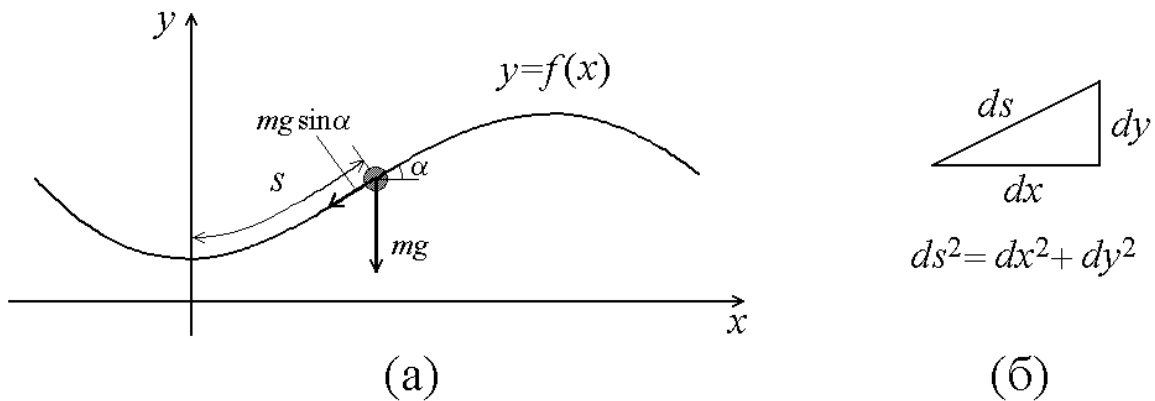


Рис.6.4. К выводу уравнения скольжения бусинки по проволоке в форме заданной кривой в поле тяжести (а). Пояснение связи между приращениями величин  $s$ ,  $x$  и  $y$  при малом смещении вдоль кривой (б).

В проекции на направление движения сила равна  $F = -mg \sin \alpha$ , где  $\alpha$  — угол наклона кривой в точке расположения бусинки (см. рис. 6.4a). Известно, что тангенс этого угла определяется величиной производной,  $\operatorname{tg} \alpha = f'(x)$ . Выражая синус через тангенс, получаем

$$F = -mgf'(x)/\sqrt{1+(f'(x))^2}. \quad (6.6)$$

Сила, действующая на бусинку со стороны проволоки может иметь только составляющую перпендикулярную направлению проволоки. В проекции на направление движения ускорение и сила связаны по второму закону Ньютона уравнением

$$m\ddot{s} = F, \quad (6.7)$$

где  $s$  обозначает расстояние, отсчитываемое вдоль проволоки. При бесконечно малом перемещении вдоль проволоки приращения  $ds$ ,  $dx$  и  $dy$  связаны соотношением  $ds^2 = dx^2 + dy^2$ . Отсюда следует, что

$$\frac{ds}{dx} = \sqrt{1+(f'(x))^2}. \quad (6.8)$$

Вычисляем последовательно первую и вторую производные по времени:

$$\frac{ds}{dt} = \frac{ds}{dx} \frac{dx}{dt} = \sqrt{1+(f'(x))^2} \frac{dx}{dt}, \quad (6.9)$$

$$\frac{d^2s}{dt^2} = \sqrt{1+(f'(x))^2} \frac{d^2x}{dt^2} + \frac{f'(x)f''(x)}{\sqrt{1+(f'(x))^2}} \left(\frac{dx}{dt}\right)^2 \quad (6.10)$$

Подставляя последнее соотношение и выражение для силы  $F$  в уравнение (6.7), имеем

$$\ddot{x} + \frac{f'(x)f''(x)}{1+(f'(x))^2} \dot{x}^2 = -g \frac{f'(x)}{1+(f'(x))^2}. \quad (6.11)$$

Уравнение (6.11) выглядит довольно непривычно, и отличается от «стандартного» уравнения нелинейного осциллятора (5.1). Тем не менее, его все же можно свести к обычной форме, но для этого в качестве динамической переменной нужно использовать не проекцию частицы на горизонтальную ось  $x$ , а другую величину — расстояние, отсчитываемое вдоль кривой

$$s = \int_0^x \sqrt{1+(f'(X))^2} dX. \quad (6.12)$$

Вычислим производную  $dy/ds$  с использованием (6.8), и (6.9):

$$\frac{dy}{ds} = \left(\frac{ds}{dy}\right)^{-1} = 1/\sqrt{1+(f'(x))^{-2}} = f'(x)/\sqrt{1+(f'(x))^2}. \quad (6.13)$$

Сопоставляя это выражение с (6.11), видим, что  $F = -mg dy/ds$ . Производная  $dy/ds$  может рассматриваться как функция от  $s$ . Поэтому уравнение (6.13) есть не что иное, как стандартная форма уравнения нелинейного осциллятора

$$\ddot{s} = -gy'(s). \quad (6.14)$$

Для этого осциллятора распределение потенциала задается функцией  $y(s)$ . Таким образом, форма профиля проволоки в исходных координатах  $(x, y)$  не соответствует форме потенциальной ямы. Чтобы получить вид потенциальной функции, надо перерисовать график, в координатах  $(s, y)$ .

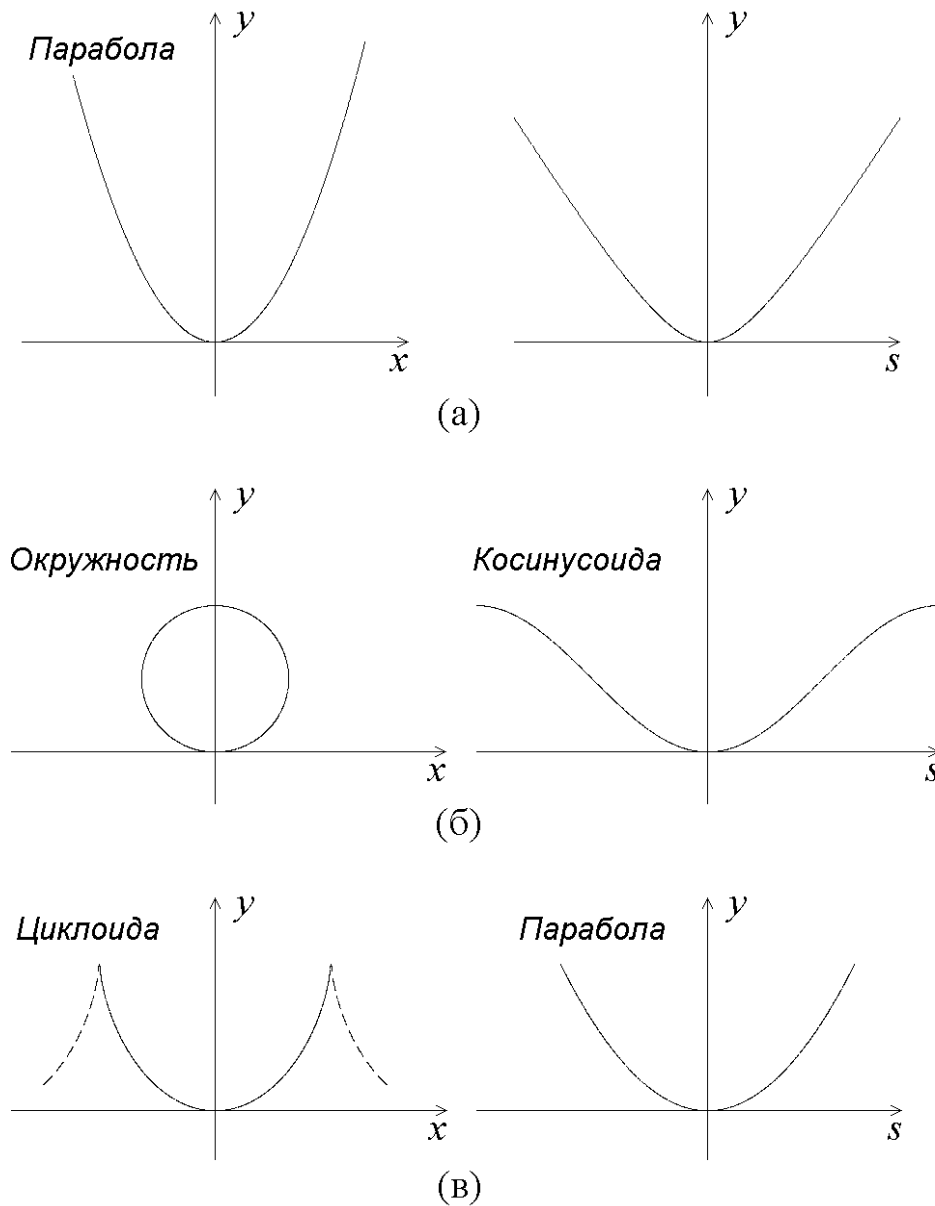


Рис.6.5. Сравнение профиля, по которому скользит частица (слева) и потенциальной ямы соответствующего нелинейного осциллятора (справа) для трех случаев: профиль в форме параболы (а), окружности (б), циклоиды (в).

На рис.6.5 представлены примеры, причем слева приведены профили, по которым скользит бусинка, а справа — соответствующие им потенциальные ямы.

Первый пример — параболический профиль

$$y = f(x) = x^2/2l. \quad (6.15)$$

(Здесь обе координаты  $x$  и  $y$  считаются величинами с размерностью длины, и для согласования размерностей левой и правых частей введена константа с размерностью длины  $l$ .) Подставляя (6.15) в (6.11), получаем уравнение, описывающее колебания бусинки, скользящей по параболе:

$$\ddot{x} + \frac{x\dot{x}^2}{l^2 + x^2} = -\frac{glx}{l^2 + x^2}. \quad (6.16)$$

Попытаемся представить его в стандартной форме (6.14). Используя (6.15) и вычисляя интеграл, имеем:

$$s = \int_0^x \sqrt{1 + X^2/l^2} dX = \frac{1}{2}x\sqrt{1 + x^2/l^2} + \frac{1}{2}l \ln\left(x/l + \sqrt{1 + x^2/l^2}\right). \quad (6.17)$$

Обратить последнее выражение и получить  $x$  как явную функцию  $s$  не удастся, поэтому приходится довольствоваться тем, что мы нашли форму потенциальной ямы  $y(s)$  в параметрической форме:

$$s = \frac{1}{2}x\sqrt{1 + x^2/l^2} + \frac{1}{2}l \ln\left(x/l + \sqrt{1 + x^2/l^2}\right), \quad y = x^2/2l. \quad (6.18)$$

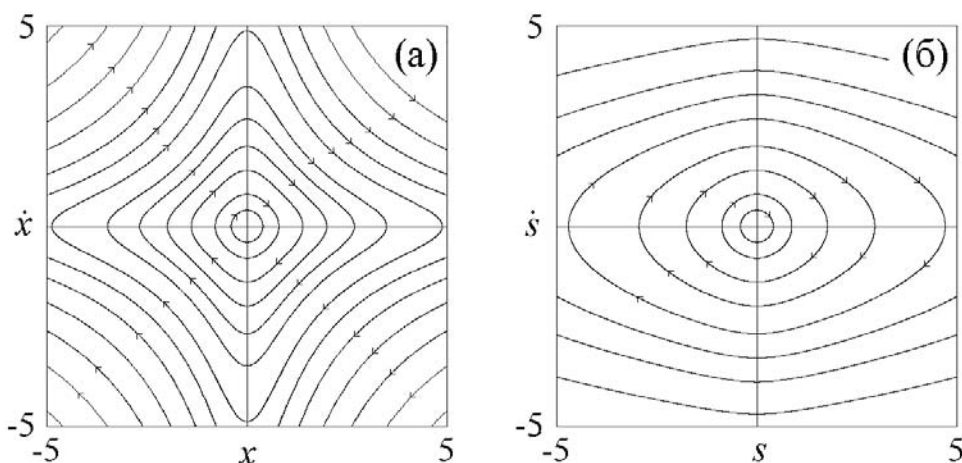


Рис. 6.6. Фазовый портрет колебаний частицы в параболическом профиле в координатах  $(x, \dot{x})$  (а) и в координатах  $(s, \dot{s})$ , построенный для уравнения (6.16) при  $l = 1$ ,  $g = 1$ .

На рис. 6.6 приведены две версии фазового портрета колебаний частицы в параболическом профиле. Один — в координатах  $(x, \dot{x})$ , а второй — в координатах  $(s, \dot{s})$ , что соответствует стандартной форме уравнений нелинейного осциллятора, с потенциальной функцией, заданной в параметрической форме уравнениями (6.18).

Второй пример — профиль в форме окружности (рис. 6.5б). Пусть радиус окружности  $l$ , тогда длина дуги, отсчитываемой вдоль кривой, выражается формулой  $s = l\varphi$ , где  $\varphi$  — угол в радианах. Считая, что нижняя точка окружности расположена в начале координат, ее параметрическое уравнение записываем в виде

$$\begin{aligned} x &= l \sin \varphi, \\ y &= l(1 - \cos \varphi). \end{aligned} \quad (6.19)$$

Ясно, что уравнение (6.14) принимает знакомый вид уравнения математического маятника:

$$\ddot{s} = -g \sin(s/l) \quad \text{или} \quad \ddot{\varphi} = -\frac{g}{l} \sin \varphi. \quad (6.20)$$

Фазовый портрет см. на рис. 6.3а.

Перейдем к третьему примеру. Зададимся вопросом, как следует выбрать форму профиля, чтобы движение частицы соответствовало бы колебаниям линейного осциллятора? Эта задача была решена в XVII веке Христианом Гюйгенсом, который искал способ реализовать изохронный маятник для часов. Чтобы уравнение (6.14) превратилось в уравнение линейного осциллятора, производная  $y'(s)$  должна выражаться линейной функцией:  $y'(s) = s/l$ . Поскольку должно выполняться равенство  $(x'(s))^2 + (y'(s))^2 = 1$ , имеем

$$\frac{dx}{ds} = \sqrt{1 - \left(\frac{s}{l}\right)^2}. \quad (6.21)$$

Ясно, что удобная параметризация получится, если положить  $s = l \sin \xi$ . Тогда находим

$$\frac{dx}{d\xi} = l \cos^2 \xi = \frac{1}{2}l(\cos 2\xi + 1) \quad \text{и} \quad \frac{dy}{d\xi} = \frac{dy}{ds} \frac{ds}{d\xi} = l \sin \xi \cos \xi = \frac{1}{2}l \sin 2\xi. \quad (6.22)$$

Интегрируя с нулевыми начальными условиями при  $\xi = 0$ , получаем



$$\begin{aligned}x &= \frac{1}{2}l\left(\xi + \frac{1}{2}\sin 2\xi\right), \\y &= \frac{1}{2}l(\cos 2\xi - 1).\end{aligned}\tag{6.23}$$

Это параметрическая форма кривой, которая называется *циклоидой*. Будучи перевернутой, она в точности совпадает с кривой, которую описывает в неподвижной системе отсчета точка на ободе катящегося колеса.

**Задача 6.2.** Для параболически изогнутой проволочки определите период малых колебаний из формулы 6.18, используя предельный переход к случаю малых  $x$ .

**Задача 6.3.** Решите аналогичную задачу в случае циклоиды.

**Задача 6.4.** Проволочка изогнута так, что ее профиль задан функцией — цепной линией  $y = a \operatorname{sch} x$ . Ось  $x$  направлена горизонтально. По проволочке без трения скользит маленькая бусинка. Трение отсутствует. Получите “эффективный” потенциал  $U(x)$ , описывающий колебания бусинки. Возрастает или убывает период нелинейных колебаний с ростом амплитуды?

### **Колебательный контур с нелинейной емкостью**

Рассмотрим колебательный контур, содержащий катушку индуктивности, резистор и нелинейную емкость (рис. 6.7). Нелинейная емкость, может быть представлена конденсатором с сегнетоэлектриком или полупроводниковым устройством с двумя включенными навстречу друг другу  $p$ - $n$  переходами (см. лекцию 2). Предполагается, что гистерезис отсутствует, и связь между запасенным зарядом  $q$  и напряжением на подводящих проводниках  $U$  задана функцией  $q = q(U)$ . Однако, сейчас нам будет удобнее использовать в качестве нелинейной характеристики обратную зависимость,  $U = U(q)$ .

Запишем уравнения Кирхгофа для нашей схемы. Мгновенный ток через нелинейную емкость определяется производной по времени от запасенного заряда,  $I = \frac{dq}{dt}$ . Далее, суммарное напряжение на резисторе  $R$  и катушке индуктивности  $L$  должно быть равно  $U(q)$ , так что  $L \frac{dI}{dt} + RI = -U(q)$ . Отсюда видно, что за динамическую переменную удобнее всего принять заряд  $q$ . Комбинируя оба приведенных уравнения, получаем:

$$\frac{d^2 q}{dt^2} + RL^{-1} \frac{dq}{dt} = -L^{-1}U(q).\tag{6.24}$$

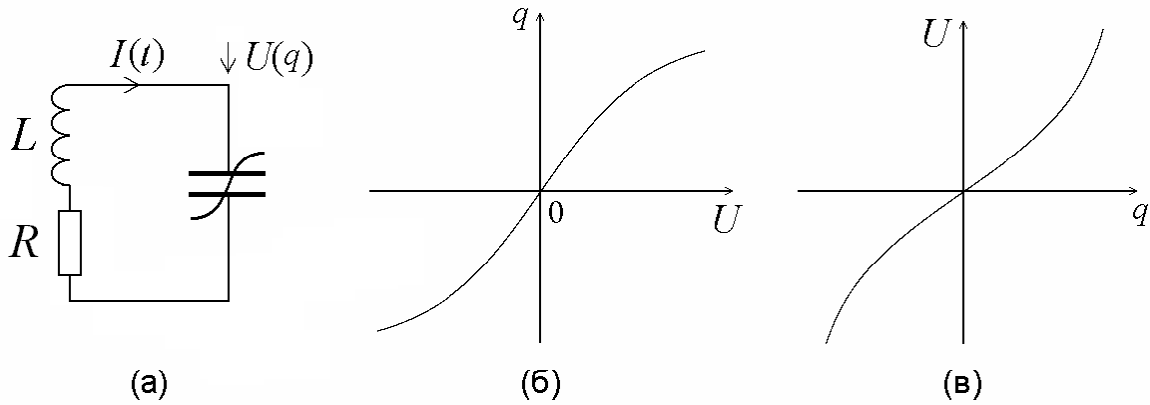


Рис. 6.7. Колебательный контур с нелинейной емкостью (а), нелинейная характеристика в виде зависимости запасенного заряда от напряжения и в виде напряжения в зависимости от запасенного заряда (в).

Обратите внимание на точную аналогию этого уравнения и уравнения механического осциллятора с диссипацией. Нелинейная характеристика конденсатора – зависимость напряжения от заряда соответствует зависимости силы от координаты в механической задаче, роль потенциальной функции выполняет функция

$$V(q) = \int_0^q U(q') dq', \tag{6.25}$$

а диссипативный член обязан своим появлением наличию сопротивления.

В частности, если конденсатор линейный,  $U(q) = q/C$ , и диссипация отсутствует, получаем уравнение гармонического осциллятора  $\ddot{q} + \omega_0^2 q = 0$  с собственной частотой  $\omega_0 = 1/LC$  – хорошо известный классический результат для колебательного контура.

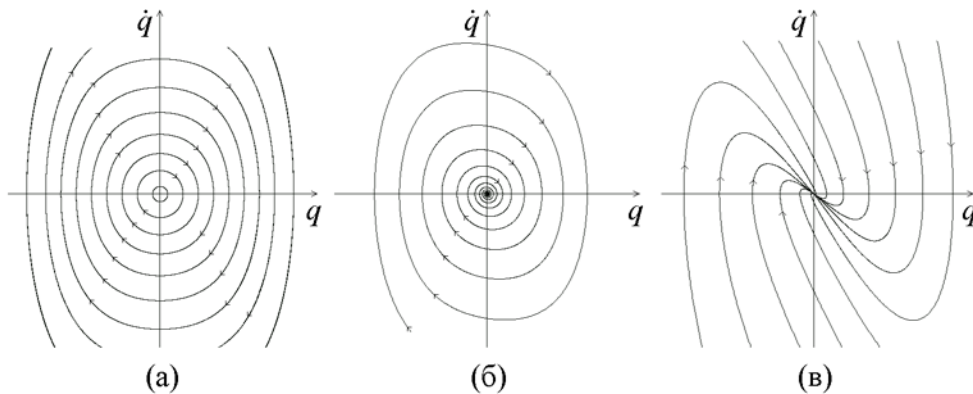


Рис.6.8. Фазовые портреты для колебательного контура с нелинейной емкостью, форма характеристики которой показана на рис. 6.6: а) в отсутствие диссипации, б) при слабой диссипации, в) при сильной диссипации.

На рис. 6.8 показан вид фазовых портретов для колебательного контура с нелинейной емкостью в предположении, что форма нелинейной характеристики соответствует показанной на рис. 6.7. Имеется единственная устойчивая неподвижная точка в начале

координат. В отсутствие диссипации это центр, при слабой диссипации — устойчивый фокус, при сильной диссипации — устойчивый узел.

### Колебательный контур с нелинейной индуктивностью

Рассмотрим колебательный контур, схема которого показана на рис. 6.9а. Присутствующая здесь нелинейная индуктивность может быть представлена катушкой с ферромагнитным сердечником (см. лекцию 2). Будем считать, что гистерезиса нет, т.е. связь между магнитным потоком и протекающим по виткам током задана некоторой нелинейной функцией. Нам будет удобно представить эту связь в виде  $I = I(\Phi)$  (рис. 6.9б,в).

Запишем уравнения Кирхгофа. Напряжение на катушке индуктивности дается выражением  $U = d\Phi/dt$ . Далее, суммарный мгновенный ток через катушку индуктивности, резистор  $R$  и конденсатор  $C$  должен равняться нулю, так что  $I(\Phi) + U/R + C dU/dt = 0$ . За обобщенную координату удобно принять магнитный поток  $\Phi$ . Комбинируя оба уравнения, приходим к уравнению нелинейного диссипативного осциллятора:

$$\frac{d^2\Phi}{dt^2} + \frac{1}{RC} \frac{d\Phi}{dt} + R^{-1}I(\Phi) = 0. \quad (6.26)$$

Вид фазовых портретов качественно такой же, как для колебательного контура с нелинейной емкостью, см. рис. 6.8.

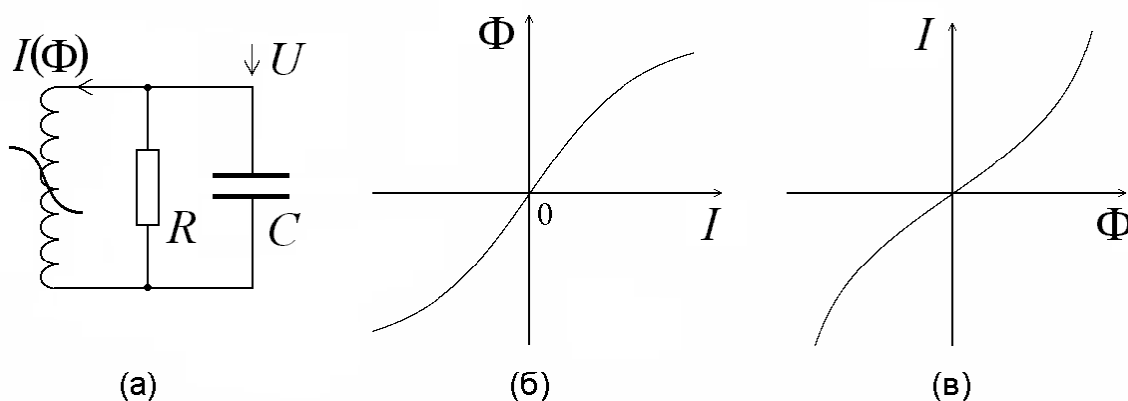


Рис.6.9. Колебательный контур с нелинейной индуктивностью (а), нелинейная характеристика в виде зависимости магнитного потока от тока в витках катушки индуктивности (б) и обратная зависимость, используемая в приведенных выкладках в качестве нелинейной характеристики (в).

**Задача 6.5.** Получите уравнения для колебательного контура с нелинейной емкостью при включении резистора параллельно катушке индуктивности и для контура с нелинейной индуктивностью при последовательном включении сопротивления. Удастся ли в этих случаях привести уравнения к стандартной форме нелинейного осциллятора с диссипацией?